

UE COM

Learning Deep CNN Denoiser Prior for Image Restoration

Adrien Zabban

8 janvier 2024

# Le problème inverse

## But

On a une image observée dégradée  $y$  et l'on veut retrouver l'image d'origine  $x$ . On sait que cette image a été dégradée de la façon suivante :

$$y = Hx + v$$

où  $H$  est la matrice de dégradation que l'on connaît, et  $v$  est un bruit gaussien d'écart-type  $\sigma$  inconnu.

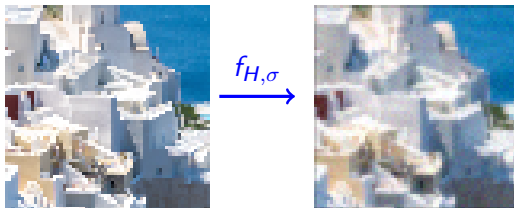


Figure: image d'origine  $x$  (à gauche) et l'image dégradée  $y$  (à droite).

# Maximiser la log-likelihood

$$\begin{aligned}\arg \max_x \log(p(x|y)) &= \arg \max_x \log(p(x, y)) \quad \text{car } p(x|y) = \frac{p(x, y)}{p(y)} \\&= \arg \max_x \log(p(y|x)) + \log(p(x)) \\&\quad \text{or } (y|x) = (v + Hx|x) \sim \mathcal{N}(Hx, \sigma^2) \\&= \arg \max_x -\frac{\|y - Hx\|^2}{2\sigma^2} + \log(p(x)) \\&= \arg \min_x \frac{1}{2}\|y - Hx\|^2 + \lambda\Phi(x) \quad \text{avec } \Phi = -\frac{\log \circ p}{\lambda}\end{aligned}$$

But

On veut donc trouver  $\hat{x}$  tel que :  $\hat{x} = \arg \min_x \frac{1}{2}\|y - Hx\|^2 + \lambda\Phi(x)$

# Une première méthode : ISTA

On veut minimiser :  $F = f + g$  avec  $f$  dérivable et  $g$  pas forcément continue. On pose  $L$  la constante de Lipschitz de  $f$ .  
En posant  $p_L$  tel que :

$$p_L(y) = \arg \max_x \left\{ g(x) + \frac{L}{2} \left\| x - \left( y - \frac{1}{L} \nabla f(y) \right) \right\|^2 \right\}$$

On peut montrer qu'il est possible d'approximer  $\hat{x} = \min_x F(x)$  en itérant :

$$x_{k+1} = p_L(x_k)$$

c'est-à-dire :  $\hat{x} = \lim_{k \rightarrow \infty} x_{k+1}$

# Une deuxième méthode : Half Quadratic Splitting (HQS)

## Idée

Diviser la variable  $x$  pour découpler le terme de fidélité et le terme de régularisation.

# Une deuxième méthode : Half Quadratic Splitting (HQS)

## Idée

Diviser la variable  $x$  pour découpler le terme de fidélité et le terme de régularisation.

On a l'équivalence entre :

$$\min_x \frac{1}{2} \|y - Hx\|^2 + \lambda \Phi(x)$$

$$\Leftrightarrow \min_{x,z} \frac{1}{2} \|y - Hx\|^2 + \lambda \Phi(z) \quad \text{tel que} \quad z = x$$

En rajoutant un paramètre  $\mu$ :

$$\Leftrightarrow \min_{x,z} \frac{1}{2} \|y - Hx\|^2 + \lambda \Phi(z) + \frac{\mu}{2} \|z - x\|^2$$

On appelle  $\mathcal{L}_\mu(x, z)$ , le terme que l'on doit minimiser.

# Une deuxième méthode : Half Quadratic Splitting (HQS)

On va approximer  $\min_{x,z} \mathcal{L}_\mu$  par :

$$\lim_{k \rightarrow \infty} \min_z \min_x \min_z \dots \min_x \mathcal{L}_\mu(x, z)$$

On peut alors trouver le minimum sur  $x$  et  $z$  en itérant :

$$\begin{cases} x_{k+1} = \arg \min_x \|y - Hx\|^2 + \mu \|z_k - x\|^2 \\ z_{k+1} = \arg \min_z \frac{\mu}{2} \|z - x_{k+1}\|^2 + \lambda \Phi(z) \end{cases}$$

## Définition

Un système de plug and play est un système qui, pour un problème donné, le résout à la fois avec une méthode d'optimisation et avec une méthode d'apprentissage.



## Définition

Un système de plug and play est un système qui, pour un problème donné, le résout à la fois avec une méthode d'optimisation et avec une méthode d'apprentissage.

L'article propose de résoudre les 2 équations de la HQS comme ceci :

$$\begin{cases} x_{k+1} = \arg \min_x & \|y - Hx\|^2 + \mu \|z_k - x\|^2 & \rightarrow \text{calcul de gradient} \\ z_{k+1} = \arg \min_z & \frac{\mu}{2} \|z - x_{k+1}\|^2 + \lambda \Phi(z) & \rightarrow \text{Denoiser (CNNs)} \end{cases}$$

**Pour**  $x_{k+1}$  :

$$x_{k+1} = \arg \min_x \|y - Hx\|^2 + \mu \|z_k - x\|^2$$
$$\Leftrightarrow x_{k+1} = (H^T H + \mu I)^{-1} (H^T y + \mu z_k)$$

**Pour**  $z_{k+1}$  :

$$z_{k+1} = \arg \min_z \frac{\mu}{2} \|z - x_{k+1}\|^2 + \lambda \Phi(z)$$
$$\Leftrightarrow z_{k+1} = \arg \min_z \frac{1}{2(\sqrt{\lambda/\mu})^2} \|z - x_{k+1}\|^2 + \Phi(z)$$
$$\Leftrightarrow z_{k+1} = \text{Denoiser}(x_{k+1}, \sqrt{\lambda/\mu})$$

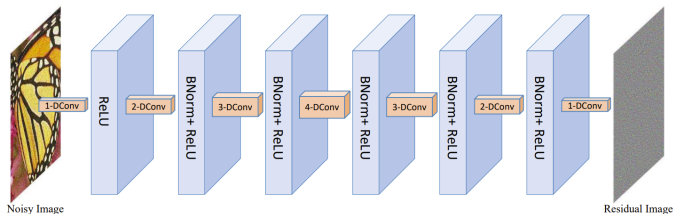


Figure 1. The architecture of the proposed denoiser network. Note that “ $s$ -DConv” denotes  $s$ -dilated convolution [63], here  $s = 1, 2, 3$  and 4; “BNorm” represents batch normalization [32]; “ReLU” is the rectified linear units ( $\max(\cdot, 0)$ ).

Figure: Denoiser utilisé dans l'article

## Méthodologie de l'article

Entraînement de 25 Denoiser avec une variance de bruit constant de  $2k$  où  $k \in [1, 25]$ .

## Mon Denoiser

modèle : 5 couches CNNs au lieu de 7. (dilatation de 1, 2, 3, 2, 1)  
sur des images en couleur de taille :  $64 \times 64$ .

2 entraînements :

- **Const**: a appris sur une variance de bruit constant de 5, les images viennent d'un maxpooling d'image de  $256 \times 256$ .
- **Rand**: a appris sur une variance de bruit uniforme sur  $[1, 20]$ , les images qui viennent d'un crop.

# Le Denoiser: les résultats de tests

Les résultats de tests :

	MSE	PSNR	MSSSIM
<b>Baseline</b>	$3.74 \times 10^{-4}$	34.3	0.998
<b>Const</b>	$7.05 \times 10^{-4}$	31.7	0.999

Table: Image avec une variance de bruit constant de 5.

	MSE	PSNR	MSSSIM
<b>Baseline</b>	$18.7 \times 10^{-4}$	27.38	0.990
<b>Rand</b>	$9.01 \times 10^{-4}$	30.6	0.996

Table: Image avec une variance de bruit variant entre 1 et 20.

Inférence du modèle : **Const**



**Figure:** image d'origine (à gauche), image bruitée (au centre) et image débruitée (à droite).

Inférence du modèle : **Rand**



**Figure:** image d'origine (à gauche), image bruitée (au centre) et image débruitée (à droite).

# Plug and play: résultats de Const

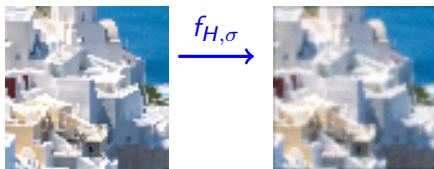


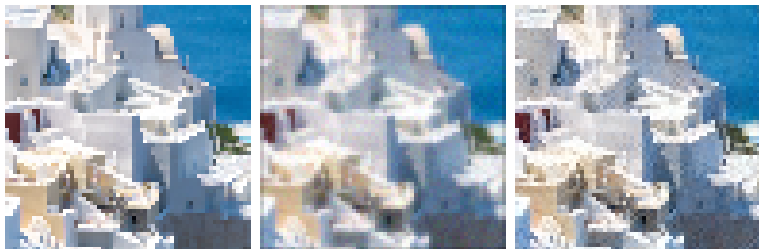
Figure: image d'origine  $x$  (à gauche) et l'image dégradée  $y$  (à droite).



Figure: images représentant respectivement  $x_1$ ,  $z_1$ ,  $x_2$ ,  $z_2$ .



Plug and play fait sur 10 itérations



**Figure:** image d'origine  $x$  non bruitée (à gauche), l'image dégradée  $y$  (au centre) et image de  $z_{10}$  (à droite).

# Plug and play : résultats de Const

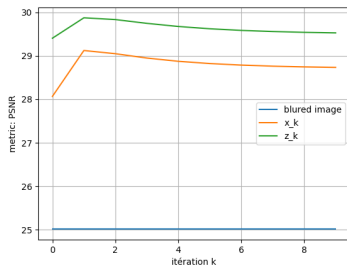
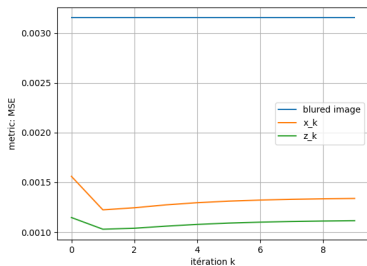


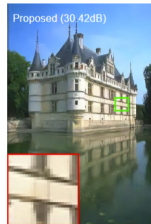
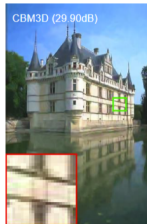
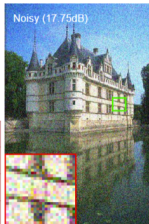
Figure: Métriques MSE et PSNR en fonction des itérations.

# Plug and play : les résultats de l'article

## Image Denoising

Table: The averaged PSNR(dB) results of different methods on BSD68 dataset.

Methods	BM3D	WNNM [2]	TNRD	Proposed
15	31.07	31.37	31.42	<b>31.73</b>
25	28.57	28.83	28.92	<b>29.23</b>
50	25.62	25.87	25.97	<b>26.23</b>



## Image Deblurring



(a) Blurry and noisy image

(b) IDDBM3D (26.95dB)

(c) NCSR (27.50dB)

(d) MLP (28.91dB)

(e) Proposed (29.78dB)

Figure: Image deblurring performance comparison (the blur kernel is Gaussian kernel with standard deviation 1.6, the noise level is 2).

Figure: Expérience de l'article

# Plug and play : continue

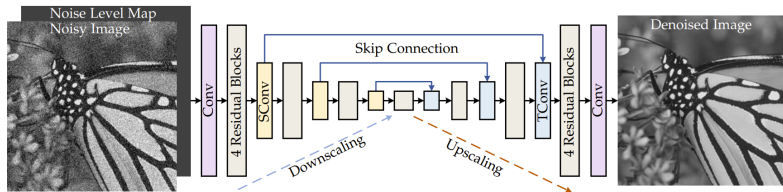


Fig. 1. The architecture of the proposed DRUNet denoiser prior. DRUNet takes an additional noise level map as input and combines U-Net [20] and ResNet [36]. "SConv" and "TConv" represent strided convolution and transposed convolution, respectively.

Figure: Modèle U-net de la version 2 du papier

- **article:** Kai Zhang, Wangmeng Zuo, Shuhang Gu and Lei Zhang, *Learning Deep CNN Denoiser Prior for Image Restoration*. <http://arxiv.org/abs/1704.03264>
- **FISTA:** Amir Beck and Marc Teboulle, *A Fast Iterative Shrinkage-Thresholding Algorithm for Linear Inverse Problems*. <https://www.ceremade.dauphine.fr/~carlier/FISTA>
- **article v2:** Zhang, Kai and Li, Yawei and Zuo, Wangmeng and Zhang, Lei and Van Gool, Luc and Timofte, Radu, *Plug-and-Play Image Restoration With Deep Denoiser Prior*, <https://arxiv.org/pdf/2008.13751.pdf>
- **Lien de mon implémentation :** <https://github.com/Highdrien/CNN-Denoiser-Prior>